

# **ФАРМАКОМ**

науково-практичний журнал

## **ЛІКАРСЬКІ ЗАСОБИ**

- наука
- технологія
- якість
- стандартизація

**2  
2013**

**Будова та властивості**

УДК 615.28 : 519.233.5:547.856.1

Криськів О.С.

Національний фармацевтичний університет

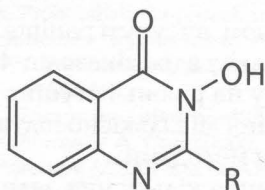
**Антимікробна дія 2-R-3-гідрокси-4-оксо(3,4-дигідро)-хіназолін-4-онів та її кількісний зв'язок із молекулярною структурою**

Розраховано значення  $\log P$  для деяких похідних 2-R-3-гідрокси-4-оксо(3,4-дигідро)-хіназолін-4-ону, для встановлення кількісних залежностей проведено їх регресійно-кореляційний аналіз із даними антимікробної активності. Встановлено деякі кількісні закономірності «структурно-дія» у ряду зазначених сполук на основі проведення кореляції теоретично розрахованих значень  $\log P$  із результатами мікробіологічних досліджень. Показано, що  $\log P$  добре корелює зі значеннями антимікробної дії відносно *S. aureus*, *B. subtilis* та *E. coli*.

**Ключові слова:** ліофільність, кореляція, антимікробна активність, хіназолін-4-он.

На сучасному етапі для оцінки фармакологічної активності групи нових сполук їх тестують за алгоритмом, що звичайно складається з кількох етапів: віртуального скринінгу, досліджень *in vitro*, а далі – *in vivo* [1]. Дослідження впливу "структурна – активність" і проведення структурно-фармакологічного аналізу в певних групах речовин дозволяють зосередити зусилля на найперспективніших сполуках з оптимальними показниками того чи іншого виду активності [2].

Нами синтезовані ряди 2-R-3-гідрокси-4-оксо(3,4-дигідро)-хіназолін-4-онів (1 – 18) [3, 4] загальної формулі:



R = H (1), Me (2), Et (3), CH<sub>2</sub>Cl (4), Ph (5), CO<sub>2</sub>Et (6), CH<sub>2</sub>CH<sub>2</sub>CO<sub>2</sub>Me (7), CH<sub>2</sub>CH<sub>2</sub>CO<sub>2</sub>H (8), o-C<sub>6</sub>H<sub>4</sub>CO<sub>2</sub>H (9), CH=CHCO<sub>2</sub>H (10), CONH<sub>2</sub> (11), CONHMe (12), CONH-i-Pr (13), CONHCH<sub>2</sub>CH=CH<sub>2</sub> (14), CONHBz (15), CONHCH<sub>2</sub>CH<sub>2</sub>OH (16), CONHNH<sub>2</sub> (17), CONHOH (18)

Із використанням програми PASS (Prediction of Activity Spectra for Substances, <http://pharmaexpert.ru/passonline>), що прогнозує понад 4000 видів біологічної активності на основі структурних формул хімічних сполук із середньою точністю близько 95 %, проведено їх віртуальний скринінг [5-7].

Із урахуванням PASS-прогнозу вивчено антимікробну дію синтезованих сполук (при цьому експериментальні дані співпали з результатами віртуального скринінгу) (Табл. 1) та обговорено зв'язок «структурно-дія» у зазначеному ряду похідних хіназолін-4-ону [8, 9].

Відомо, що в організмі активність медіаторів і коферментів істотно залежить від дрібних деталей хімічної структури, зміна яких призводить до втрати специфічного біологічного ефекту або його радикальної зміни.

Метою даної роботи є встановлення кількісних співвідношень «структурно-активність» (КССА) у ряду синтезованих 2-R-3-гідрокси-4-оксо(3,4-дигідро)-хіназолін-4-онів.

Серед численних напрямків КССА-досліджень найбільш ефективними є аналіз рівняння залежностей логарифма коефіцієнта розподілу гідрофільне/гідрофобне середовище  $\log P$  (або константи розподілу Нернста  $\log K_H$ ) і логарифма оберненої концентрації  $\log(1/C)$ , необхідної для досягнення певного рівня біологічної активності, електронних впливів замісників, рівня біологічної активності тощо [9].

Наступним етапом роботи стало виявлення можливих кореляцій і встановлення кількісних залежностей між розрахованими значеннями  $\log P$  і експериментально визначеними даними біологічної активності сполук 1-18 (Табл. 1).

**Матеріали та методи**

Значення  $\log P$  розраховували із використанням програми ChemBio3D Ultra 12.0 програмного пакета ChemBioOffice 2012 [10].

Кількісні залежності видів біологічної активності від  $\log P$  (кореляційно-регресійний аналіз) встановлено з використанням програми STATISTICA 8 [11-13]. Чим ближче коефіцієнт кореляції знаходиться до  $\pm 1$ , тим тісніший зв'язок між ознаками. Згідно із прийнятими у математичній статистиці вимогами, такий зв'язок оцінювали як: < 0.3 – зв'язок відсутній, 0.4-0.7 – зв'язок середній, > 0.7 – зв'язок тісний [14-16].

Усього до статистичної вибірки було включено 18 сполук. Під час статистичної обробки результатів фармакологічних досліджень при аналізі

Таблиця 1

**Характеристика антисептичних властивостей синтезованих 2-*R*-3-гідрокси-4-оксо(3,4-дигідро)хіазолін-4-онів [8, 9] та розраховані значення  $\log P$**

| Сполучка | $\log P$ | Мінімальна бактерицидна концентрація, мкг/мл |                    |                |                      |                    |
|----------|----------|--|--------------------|----------------|----------------------|--------------------|
|          |          | <i>S. aureus</i>                             | <i>B. subtilis</i> | <i>E. coli</i> | <i>P. aeruginosa</i> | <i>C. albicans</i> |
| 1        | -0.455   | 52.2   | 65.4               | 41.7           | 48.3                 | 3.2                |
| 2        | 0.044    | 40   | 63.7               | 43.7           | 47.6                 | 30.4               |
| 3        | 0.573    | 26.4   | 48.7               | 56.2           | 49.6                 | 3.1                |
| 4        | 0.107    | 37.1   | 26.4               | 53.5           | 28.3                 | 13.7               |
| 5        | 1.643    | 21.4   | 62.7               | 17.8           | 48.2                 | 3.2                |
| 6        | -0.204   | 52.7   | 12.8               | 15.3           | 49.2                 | 3                  |
| 7        | -0.318   | 47.6   | 48.4               | 52.6           | 49.3                 | 14.3               |
| 8        | -0.694   | 48.6   | 72.5               | 63.7           | 48.2                 | 3                  |
| 9        | 0.668    | 23.6   | 23.4               | 16.7           | 12.8                 | 3.1                |
| 10       | -0.358   | 48.3   | 76.7               | 48.3           | 13.2                 | 3                  |
| 11       | -0.956   | 37.2   | 73.5               | 57.4           | 47.2                 | 3                  |
| 12       | -0.642   | 46.8   | 66.3               | 52.3           | 48.5                 | 3.2                |
| 13       | 0.196    | 33.6   | 24.8               | 58.4           | 30.4                 | 20.5               |
| 14       | 0.132    | 32.8   | 67.5               | 57.4           | 48.5                 | 3.2                |
| 15       | 1.147    | 27.6   | 33.2               | 15.8           | 12.6                 | 3.2                |
| 16       | -1.203   | 43.5   | 79.3               | 55.2           | 46.2                 | 3                  |
| 17       | -1.418   | 58.8   | 75.1               | 57.9           | 48.4                 | 3.1                |
| 18       | -1.248   | 44.7   | 67.8               | 26.3           | 44.5                 | 13.2               |

вибірки довжиною у 18 випадків статистично достовірними вважають значення коефіцієнта кореляції Пірсона більше 0.40 ( $p \leq 0.05$ ).

#### Результати дослідження та обговорення

Аналіз даних статистичної обробки результатів свідчить про те, що показник  $\log P$  корелює зі значеннями антимікробної дії відносно *S. aureus* ( $r = -0.8071$ ), *B. subtilis* ( $r = -0.5178$ ) та *E. coli* ( $r = -0.5015$ ). Незначний рівень кореляції спостерігався при аналізі антимікробної дії відносно *P. aeruginosa* ( $r = -0.3787$ ). Відзначимо, що в усіх випадках спостерігалося від'ємне значення кореляції (Рис. 1, 2). Не спостеріга-

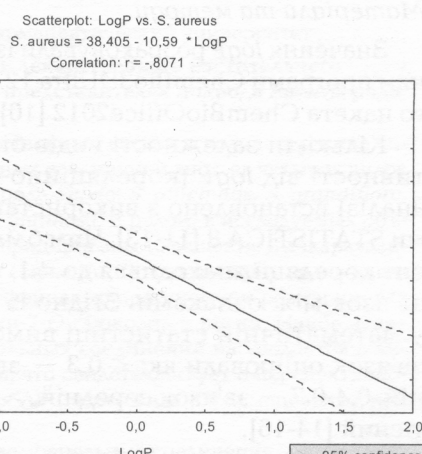
лось кількісних залежностей для *C. albicans* ( $r = -0.0253$ ).

Такі поєднання коефіцієнтів кореляції Пірсона та показників значущості свідчать про достовірність графіків і рівнянь, наведених на Рис. 1 і 2.

Таким чином, висунуті раніше припущення [8, 9] щодо впливу ядра хіазолін-4-ону та замісників у ньому на рівень і ступінь вираженості протимікробної дії кількісно підтвердженні розрахунковими методами.

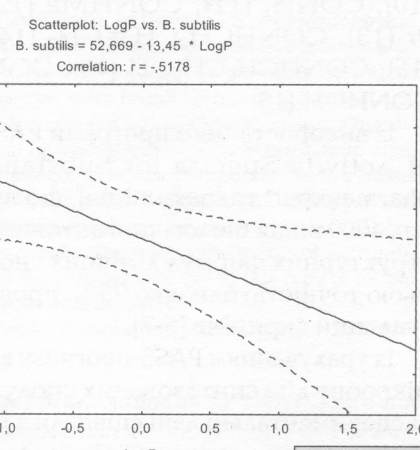
Встановлення кількісних залежностей рівня антимікробної дії від розрахованих значень  $\log P$  у перспективі дасть можливість прогнозу-

Рисунок 1



Кореляція антимікробної дії відносно *S. aureus* і  $\log P$

Рисунок 2



Кореляція антимікробної дії відносно *B. subtilis* і  $\log P$

вати наявність і ступінь виявлення тих чи інших фармакологічних властивостей в ряду 2-R-3-гідрокси-4-оксо(3,4-дигідро)хіназолін-4-онів та сприяти його оптимізації цілеспрямованого пошуку БАР у даному ряду речовин.

### Висновки

1. Розраховано значення  $\log P$  для деяких 2-R-3-гідрокси-4-оксо(3,4-дигідро)хіназолін-4-онів.

2. Із метою встановлення кількісних залежностей «структурно-властивості» проведено їх регресійно-кореляційний аналіз.

3. Встановлено, що показник  $\log P$  добре корелює зі значеннями антимікробної дії відносно *S. aureus*, *B. subtilis* та *E. coli*, незначний рівень кореляції встановлено відносно *P. aeruginosa*, відсутність кореляції — для *C. albicans*.

### ЛІТЕРАТУРА

1. Орлов В.Д. Медицинская химия / В.Д. Орлов, В.В. Липсон, В.В. Иванов. — Х.: Фолио. — 2005. — 464 с.
2. Anzali S. Discriminating between drugs and nondrugs by Prediction of Activity Spectra for Substances (PASS) / S. Anzali, G. Barnickel, B. Cezanne [et al.] // J. Med. Chem. — 2001. — № 44(15). — Р. 2432-2437.
3. Шемчук Л.А. Синтез 2-R-3-гідроксихіназолін-4-онів та їх хімічні перетворення / Л.А. Шемчук, В.П. Черних, О.С. Кріськів // Журнал органічної та фармацевтичної хімії. — 2005. — Т. 3. - Вип. 3 (11). — С. 9-12.
4. Шемчук Л.А. Реакція амідов антранілової кислоти з циклическими ангідридами / Л.А. Шемчук, В.П. Черных, О.С. Кріськів // Журнал органіческой химии. — 2006. — Т. 42. - Вып. 3. — С. 395-399.
5. Filimonov D.A. Probabilistic approach in activity prediction. In: Chemoinformatics Approaches to Virtual Screening / D.A. Filimonov, V.V. Poroikov // Cambridge (UK): RSC Publishing. — 2008. — Р.182-216.
6. Geronikaki A. Computer-aided predictions for medicinal chemistry via Internet / A. Geronikaki, D. Druzhilovsky, A. Zakharov, V. Poroikov // SAR and QSAR Environ. Res. — 2008. — № 19 — Р. 27-38.
7. Lagunin A. Multi-targeted natural products evaluation based on biological activity prediction with PASS / A. Lagunin, D.A. Filimonov, V.V. Poroikov // Cur. Pharm. Design. — 2010. — №16 (15). — Р. 1703-1717.
8. Дикий І.Л. Вивчення антимікробної дії похідних хіназолін-4-ону та гетероцикліческих сполук на їх основі / І.Л. Дикий, О.С. Кріськів, В.П. Черних [та ін.] // Вісник фармації. — 2006. — № 2 (46). — С. 64-67.
9. Дикий І.Л. Синтез та антимікробна активність похідних 4-оксо-3,4-дигідрохіназоліну / І.Л. Дикий, О.С. Кріськів, В.П. Черних [та ін.] // Пошук та розробка нових профілактических і лікувальних протимікробних засобів, антисептиків, дезінфікантів та пробіотиків: тези доп. наук-практ. конф. з міжнар. уч., 20-21 листопада 2006 р. — Х., 2006. — С. 99-100.
10. Mekenyan O. Dynamic QSAR Techniques: Application in Drug Design and Toxicology / O. Mekenyan // Curr. Pharm. Design. — 2002. — № 8. — Р. 1605-1621.
11. Соловьев М.Е. Компьютерная химия / М.Е. Соловьев, М.М. Соловьев. — М.: «Солон-пресс». — 2005. — 536 с.
12. Боровиков В.П. STATISTICA: искусство анализа данных на компьютере. Для профессионалов / В.П. Боровиков. - [2-е изд.]. — С. Пб.: Питер. — 2003. — 688 с.
13. Вуколов Э.А. Основы статистического анализа / Э.А. Вуколов. — М.: Форум. — 2008. — 464 с.

14. Халафян А.А. STATISTICA 6. Статистический анализ данных: учебник / А.А. Халафян. — [3-е изд.]. - М.: ООО «Бином-пресс». — 2007. — 512 с.

15. Fujita T. Recent success stories leading to commercializable bioactive compounds with the aid of traditional QSAR procedures / T. Fujita // QSAR. — 1997. — Vol. 16. — P. 107-112.

16. Rivere P. Quality et Statistique / P. Rivere // Courrier des statistique. — Paris: INSEE. — 1999. — № 90. — P. 47-58.

УДК 615.28 : 519.233.5:547.856.1

### Резюме

Кріськів О.С.

Національний фармацевтический університет

### Антимікробне дієслово 2-R-3-гідрокси-4-оксо(3,4-дигідро)-хіназолін-4-онів та його количественна зв'язь з молекулярною структурою

Рассчитаны значения  $\log P$  для некоторых производных 2-R-3-гідрокси-4-оксо(3,4-дигідро)хіназолін-4-она, для установления количественных зависимостей проведен их регрессионно-корреляционный анализ с данными антимікробной активности. Установлены некоторые количественные закономерности «структурно-дієслово» в ряду указанных соединений на основе проведения корреляции теоретически рассчитанных значений  $\log P$  с результатами микробиологических исследований. Показано, что  $\log P$  хорошо коррелирует со значениями антимікробного дієслово по отношению к *S. aureus*, *B. subtilis* и *E. coli*.

**Ключевые слова:** ліпофільність, кореляція, антимікробна активність, хіназолін-4-они.

UDK 615.28:519.233.5:547.856.1

### Summary

Kriskiv O.S.

National University of Pharmacy

### Antimicrobial effect of 2-R-3-hydroxy-4-oxo(3,4-dihydro)-quinazolin-4-ones and its quantitative correlation with molecular structure

Earlier, we synthesized series 2-R-3-hydroxy-4-oxo(3,4-dihydro)-quinazolin-4-ones (18 compounds), their virtual screening using the program PASS have been conducted. Considering the results of the PASS forecast, antimicrobial effect of the synthesized compounds have been studied and «structure-effect» connection in that series of compounds has been discussed. The purpose of this study was to identify possible correlations and establishing quantitative correlation between the calculated values of  $\log P$  and experimental values of biological effects of the synthesized compounds. The analysis of data of statistical analysis indicated that the rate of  $\log P$  values correlated with antimicrobial effects against *S. aureus*, *B. subtilis* and *E. coli*. A low level of correlation was observed when analyzing antimicrobial effect against *P. aeruginosa*. In all cases, there was a negative correlation. There was no quantitative relationship in the case of *C. albicans*. Thus, the assumption made earlier about the impact of core of quinazolin-4-one and its substitutes on the level and severity of antimicrobial effect was quantitatively confirmed with billing methods. Establishing quantitative relationships of the level of antimicrobial effect with calculated  $\log P$  values in the future would allow to predict the presence and degree of detection of certain pharmacological properties of some 2-R-3-hydroxy-4-oxo(3,4-dihydro)-quinazolin-4-ones and would optimize targeted search of BAS in this series of substances

**Keywords:** lipophilicity, correlation, antimicrobial effect, quinazolin-4-one.

**Кріськів Олег Степанович.** К.фарм.н. (2007). Доцент кафедри неорганічної хімії (2010) Національного фармацевтичного університету.